

# LHC-ATLAS実験における 1レプトンモードでの 超対称性粒子の探索

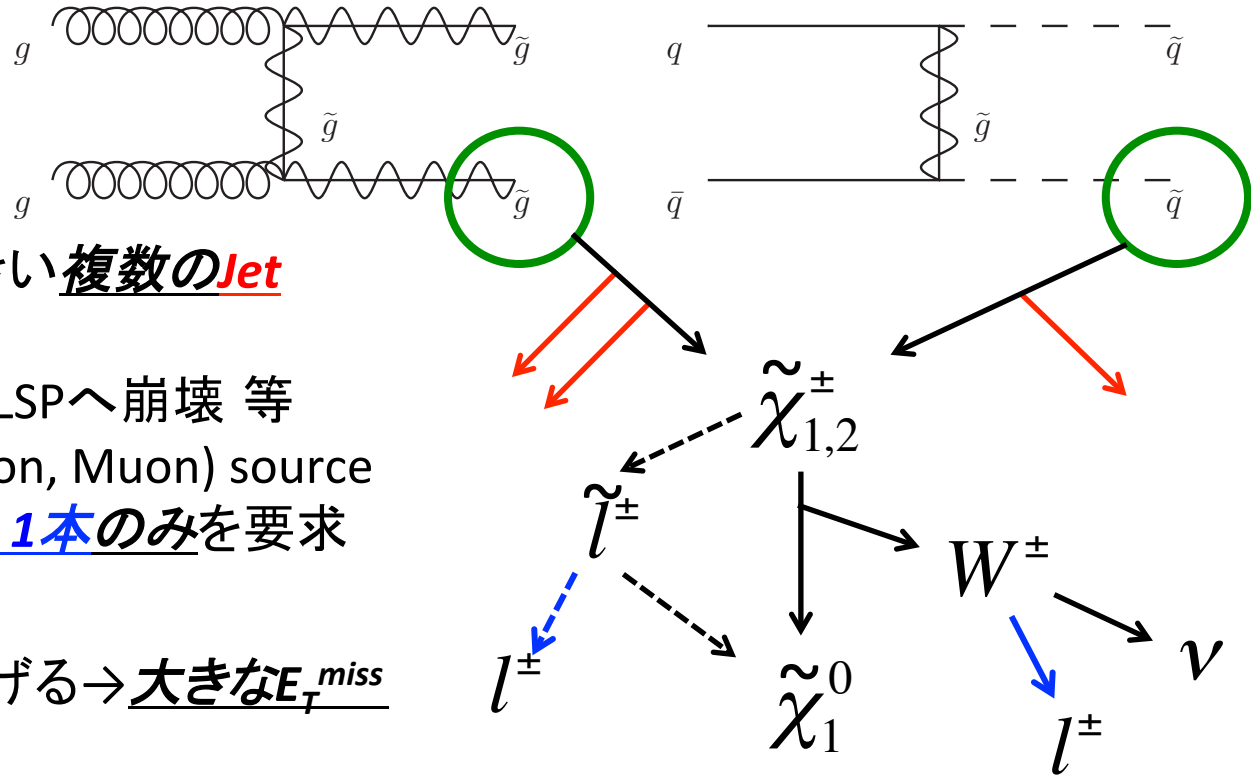
佐々木雄一、片岡洋介<sup>A</sup>、  
金谷奈央子<sup>A</sup>、浅井祥仁

東大理、東大素セ<sup>A</sup>



## ターゲットとするトポロジー

- 強い相互作用で生成される超対称性粒子



- 横方向運動量の大きい複数のJet
- EWゲージーノがWとLSPへ崩壊 等  
→主なLepton (Electron, Muon) source  
本解析ではLepton 1本のみを要求
- LSPが検出器外に逃げる→大きな $E_T^{miss}$

以上のような、強い相互作用によって生成される重い超対称性粒子事象に共通するトポロジーを対象にして探索をおこなう。



# Signal Region (SR) の設定

以下のような方針でSignal Regionを設定する。

- Jet数が多いトポロジーを要求  
→  $p_T > 80\text{GeV}$  の Jet を少なくとも 4 本要求
  - 比較的軽い SUSY に対しても感度を保ちたい  
→  $m_{\text{eff}} > 800\text{GeV}$
  - W+jets 事象を削る必要  
→  $m_T > 100\text{GeV}$
- 強い相互作用による超対称性粒子生成に広く感度を持つ Signal Region。  
特に、Multi Jet となる  $\sim g \sim g$  生成にフォーカスしている。

$$m_T = \sqrt{2 p_T^{\text{lep}} E_T^{\text{miss}} (1 - \cos \Delta\Phi(p_T^{\text{lep}}, E_T^{\text{miss}}))}$$

: Lepton と  $E_T^{\text{miss}}$  から計算した横方向不変質量

$$m_{\text{eff}} = p_T^{\text{lep}} + E_T^{\text{miss}} + \sum p_T^{\text{jet}}$$

: 全オブジェクトの  $|p_T|$  を足しあわせた量

SR :

$$p_T^{\text{lepton}} > 25\text{GeV}$$

$$p_T^{\text{jet}} > 80, 80, 80, 80 \text{ GeV}$$

$$E_T^{\text{miss}} > 250\text{GeV}$$

$$m_T > 100\text{GeV}$$

$$E_T^{\text{miss}}/m_{\text{eff}} > 0.2$$

$$m_{\text{eff}} > 800\text{GeV}$$



# 主なバックグラウンドと使用したデータ

## 主なバックグラウンド:

<b>W+jets</b>	<ul style="list-style-type: none"><li>• <math>W \rightarrow l\nu</math> 崩壊によるLeptonと<math>E_T^{\text{miss}}</math></li></ul>
<b>ttbar</b>	<ul style="list-style-type: none"><li>• <math>t\bar{t} \rightarrow b\bar{b}l\nu q\bar{q}</math> 崩壊によるLeptonと<math>E_T^{\text{miss}}</math></li><li>• <math>t\bar{t} \rightarrow b\bar{b}l\nu l\nu</math> 崩壊のうち、一方のLeptonが検出されない場合</li></ul>
<b>(QCD)</b>	<ul style="list-style-type: none"><li>• Multi-jet事象において、JetをLeptonと誤認した場合 (<math>E_T^{\text{miss}}</math>要求後にはほとんど残らない。Signal Regionで&lt;1事象)</li></ul>

その他: **Z**, Single Top, Diboson

## 使用データ:

2012.04.05-2012.06.18までに取得した積分ルミノシティ $5.8\text{fb}^{-1}$ のデータ。

重心系エネルギー  $\sqrt{s}=8\text{TeV}$ 。

一回のバンチ交差ごとの平均衝突数(Pile up数): 20。

Monte CarloのPile up数分布はDataに一致するよう補正。

Data・Monte Carlo共に $E_T^{\text{miss}} + \text{Lepton Trigger}$ を使用。



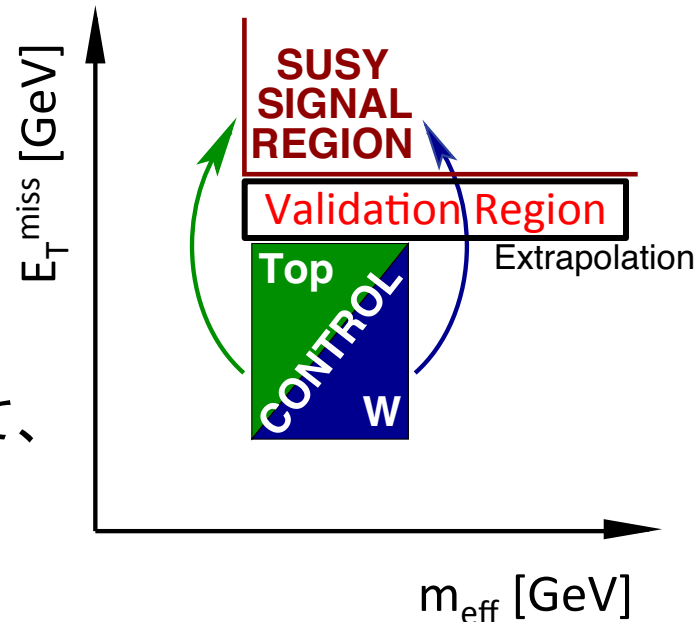
# SMバックグラウンド事象数の見積り

## *W+jets, ttbar*

- それぞれ、Control Region(CR)において規格化を行う。
- Monte Carlo (MC)の形を信じて、SRへとExtrapolate。

$$\begin{aligned} N_{pred_j}^{SR} &= (N_{data}^{CR_i} - N_{other\ bkg}^{CR_i}) \times \frac{N_{pred}(MC^j, SR)}{N_{pred}(MC^j, CR_i)} \\ &= (N_{data}^{CR_i} - N_{other\ bkg}^{CR_i}) \times C_{CR_i \rightarrow SR}^j. \end{aligned}$$

- Extrapolateの妥当性はValidation Region (VR)で確認。
- 実際には、CRへの他の成分の混入を考慮して、全成分を同時にフィットする。



## *Single top, Diboson*

- (N)NLOによって計算された断面積で規格化。

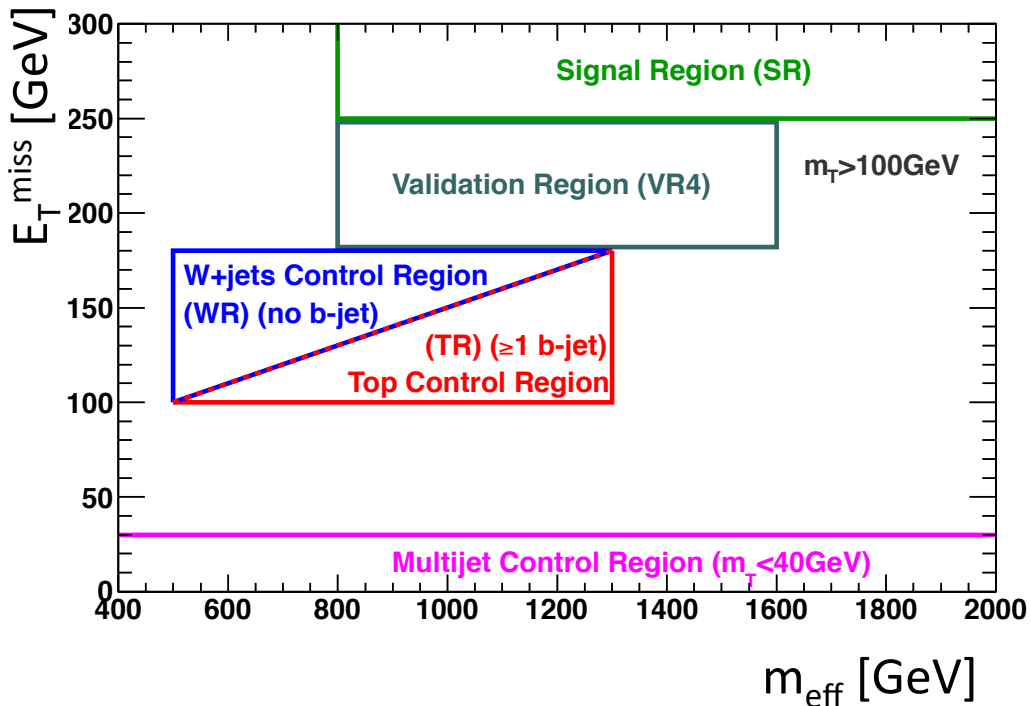
## *QCD*

- “jetをleptonと間違えた”事象を積極的に捕まえて、そこから推定。



# Control Region (CR) の設定

- W+jetsと、ttbar用のControl Regionを設定。
- Signal Regionに極力近づけるため、同じJet、 $m_T$ 条件を要求。
- Signal Regionとの切り分けは、主に $E_T^{\text{miss}}$ で行う。  
 $\text{SR}$  :  $E_T^{\text{miss}} > 250\text{GeV}$        $\text{CR}$  :  $E_T^{\text{miss}} = 100 - 180\text{GeV}$
- b-jetの有無によってW+jetとttbarのControl Regionを切り分ける。



**CR :**

- $p_T^{\text{lepton}} > 25\text{GeV}$
- $p_T^{\text{jet}} > 80, 80, 80, 80 \text{ GeV}$
- $E_T^{\text{miss}} = 100\text{GeV} - 180\text{GeV}$ ,
- $m_T > 100\text{GeV}$
- $m_{\text{eff}} = 500\text{GeV} - 1300\text{GeV}$

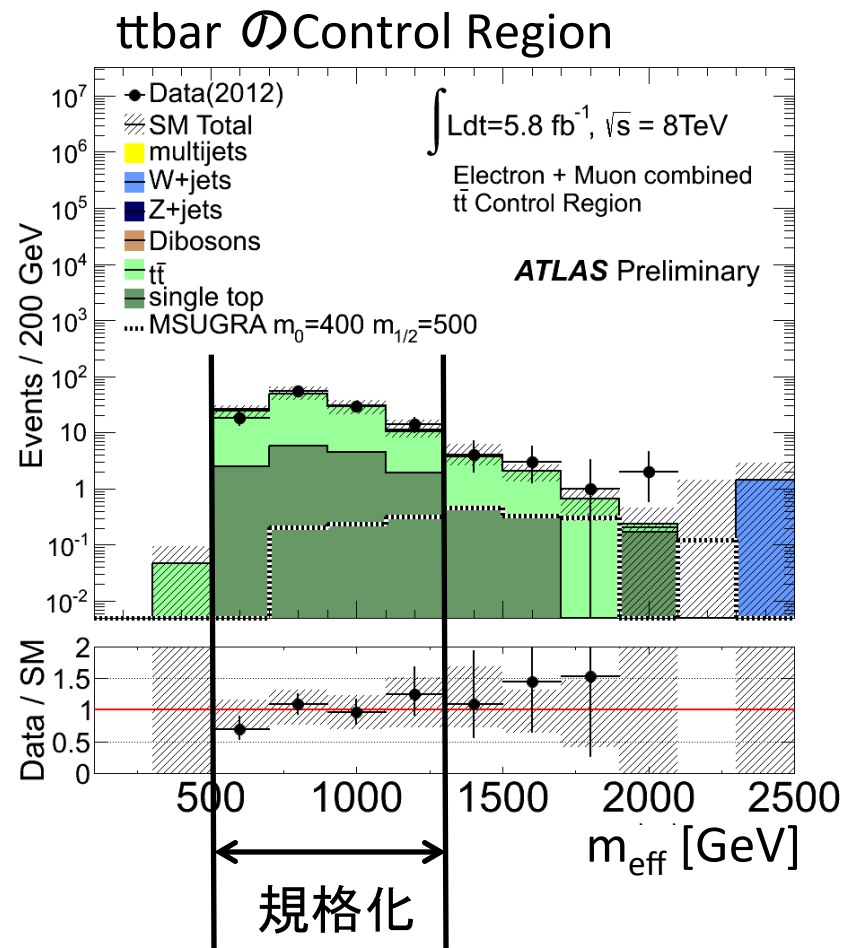
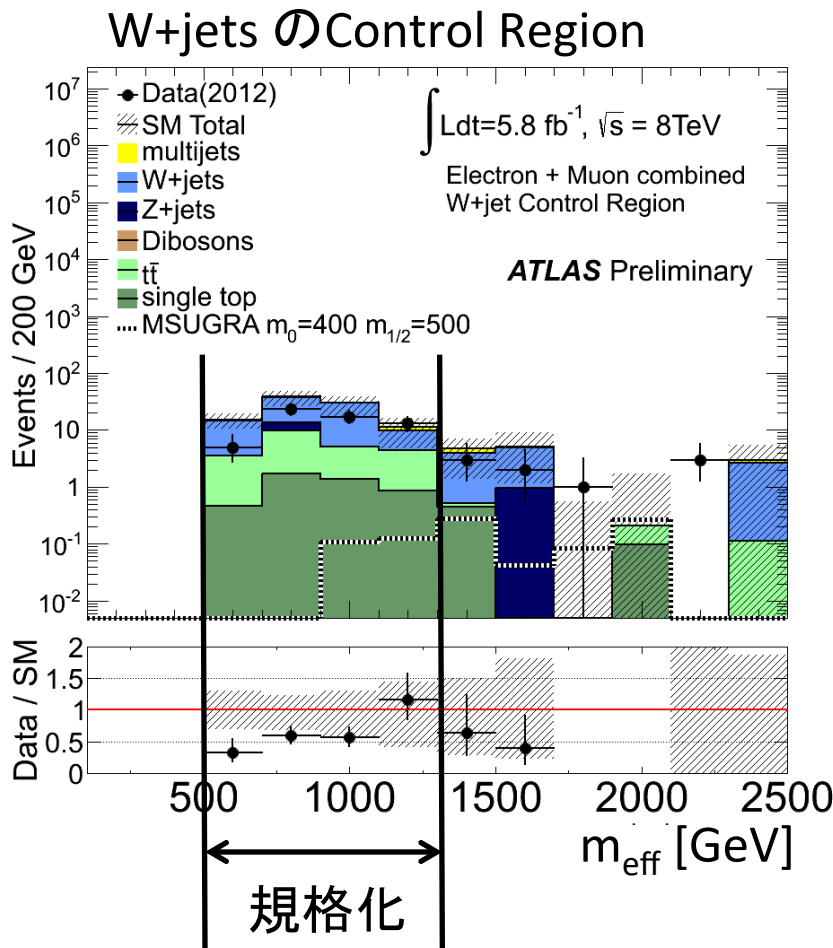
**W+jets の CR :**  
b-jetが無いことを要求

**ttbar の CR :**  
少なくとも一本の b-jet を要求



# Control Regionでの $m_{\text{eff}}$ 分布

- W+jets(左)と ttbar(右)のControl Regionにおける $m_{\text{eff}}$ 分布。



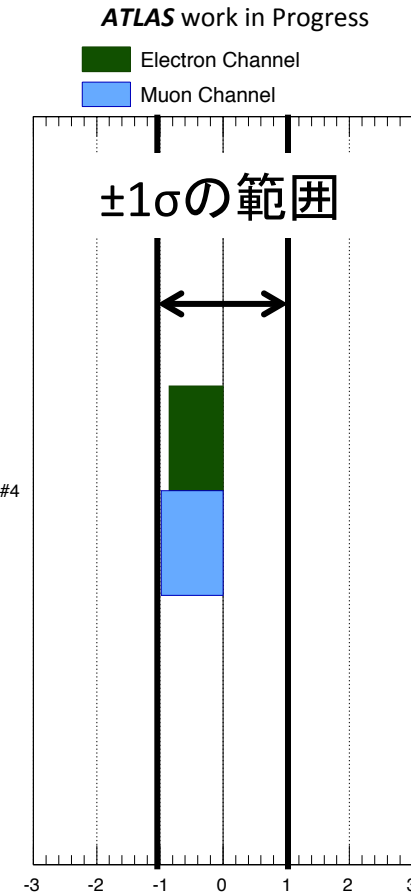


# Validation Regionにおける妥当性の確認

- Extrapolationの妥当性を確認するため、Signal Regionのカットを緩めて統計を増やしたValidation Region (VR)を定義する。
  - \*  $E_T^{\text{miss}}$  : (SR)>250 → (VR)=180–250
  - \*  $p_T^{\text{jet}}$  : (SR)>80,80,80,80 → (VR)>80,80,60,60
- CRでのフィット後に、 $\pm 1\sigma$ 以内で無矛盾。

VRでの事象数・予測数 (系統・統計誤差を含めている)

項目	Electron ch.	Muon ch.
W/Z + jets	$5.7 \pm 2.2$	$13.5 \pm 5.7$
ttbar	$27.3 \pm 6.0$	$21.8 \pm 4.9$
Single top, Diboson	$5.5 \pm 1.3$	$4.9 \pm 2.0$
QCD	$1.5 \pm 1.9$	0
合計	$40.0 \pm 6.9$	$40.2 \pm 8.2$
観測した数	32	30



(観測数-予測数)の有意さ

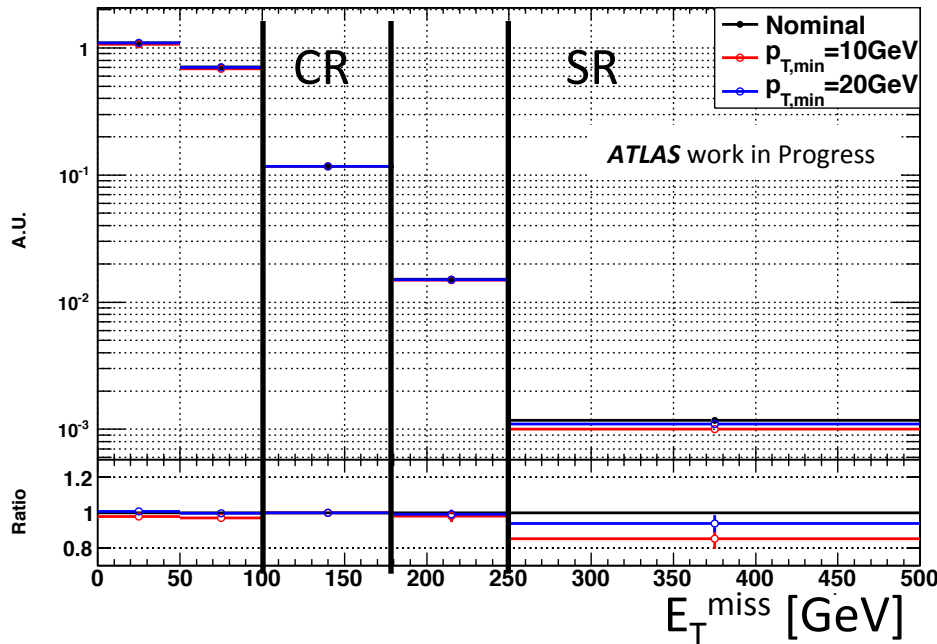


# 系統誤差の評価

以下の項目を評価し、不定性として考慮する。

- 検出器による系統誤差: 主にJet の Energy ScaleとResolutionの不定性 (~20%)。その他、LeptonのEnergy Scale、Efficiency等。
- Generatorの系統誤差: CR->SRへのExtrapolationは主に $E_T^{\text{miss}}$ に対して行う  
→ $E_T^{\text{miss}}$ の傾きの変化量をGeneratorのパラメータを変化させて調べた。

## Generatorの系統誤差評価の一例



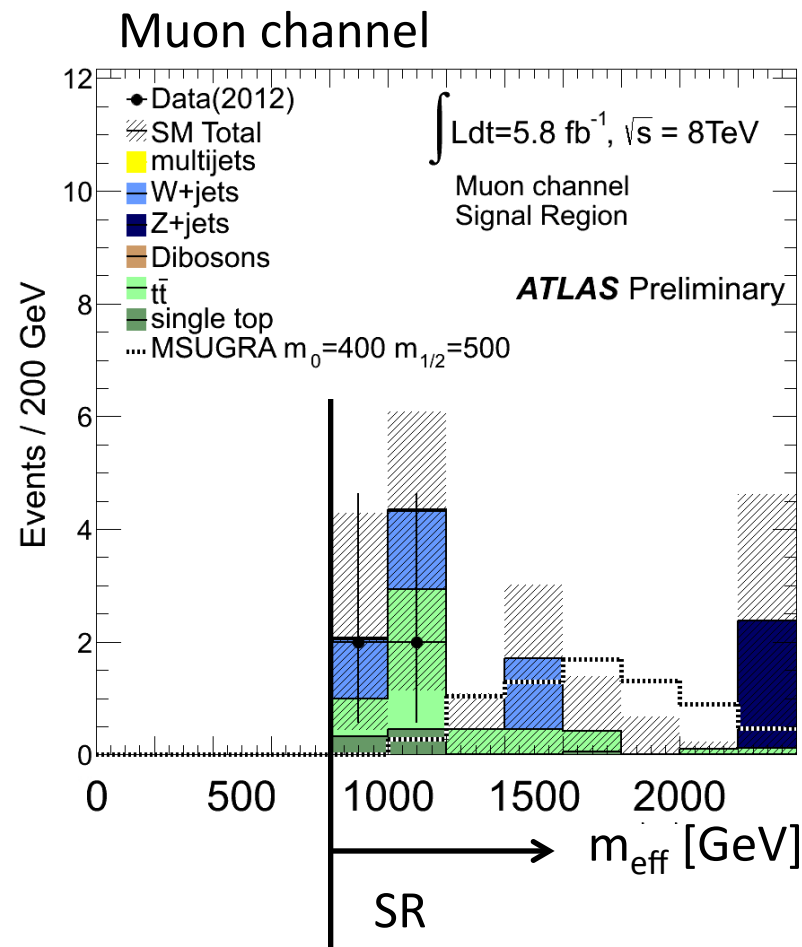
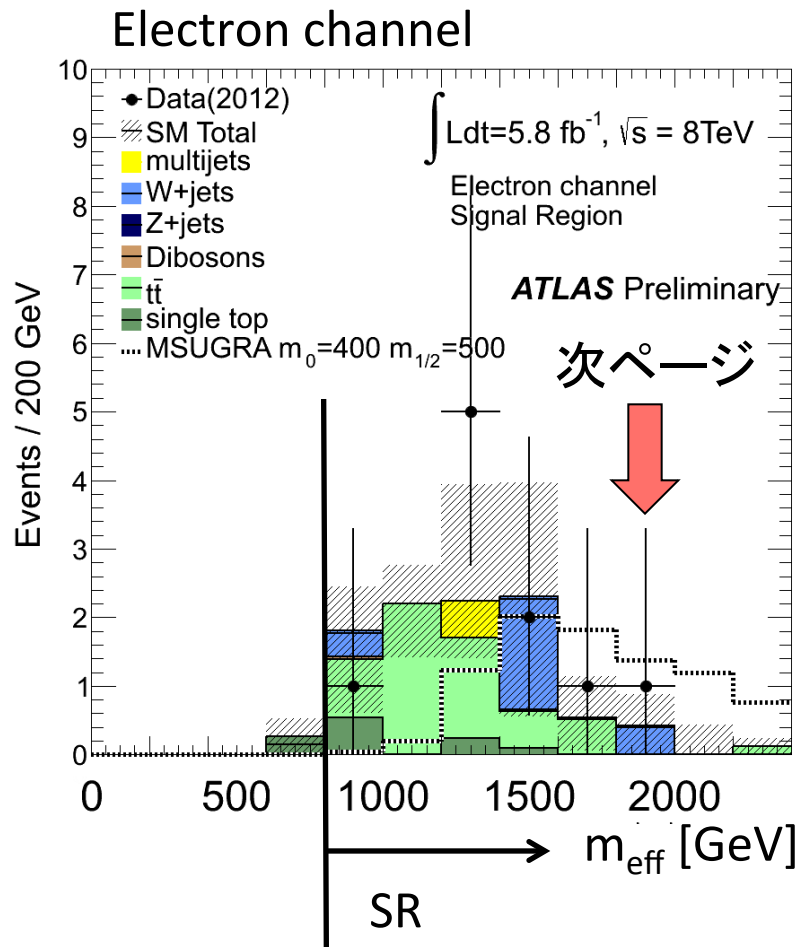
## Generatorの不定性

バックグラウンド	不定性
W+jets	$\pm 20\%$
ttbar	$\pm 15\%$



# Signal Regionでの $m_{\text{eff}}$ 分布

- Electron channel (左)と Muon channel (右)のSignal Regionにおける $m_{\text{eff}}$ 分布。

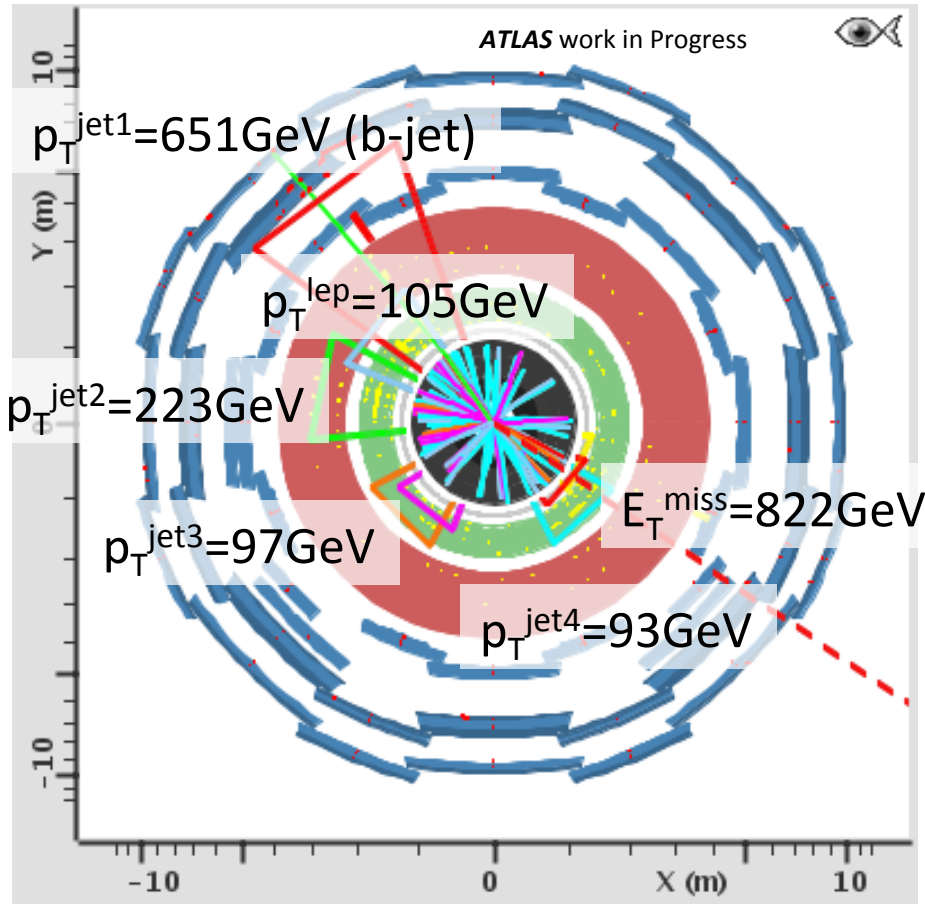




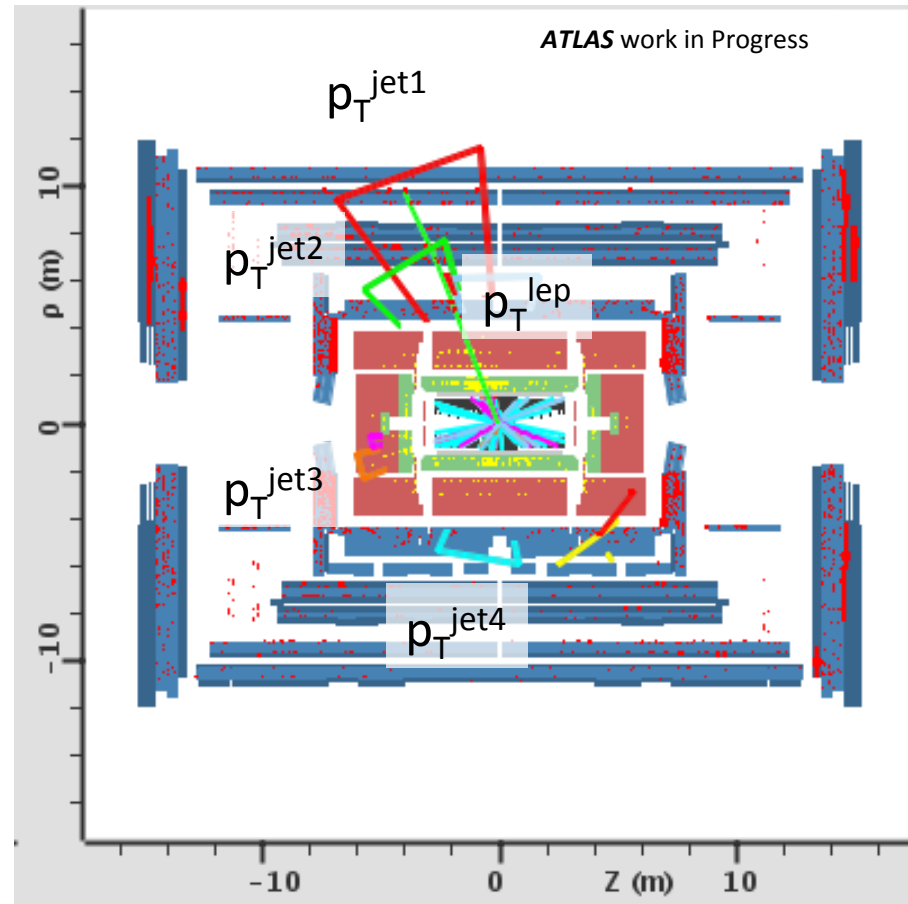
# 候補事象の例

標準理論だと考えると、 $t\bar{t} \rightarrow b\bar{b} l\nu l\nu$ 崩壊のうち一つの leptonが検出を逃れたものだと解釈出来る。

$m_{\text{eff}}$	= 1991 GeV
$m_T$	= 586 GeV
$E_T^{\text{miss}}$	= 822 GeV



ビームと鉛直な断面図



ビームと並行な断面図

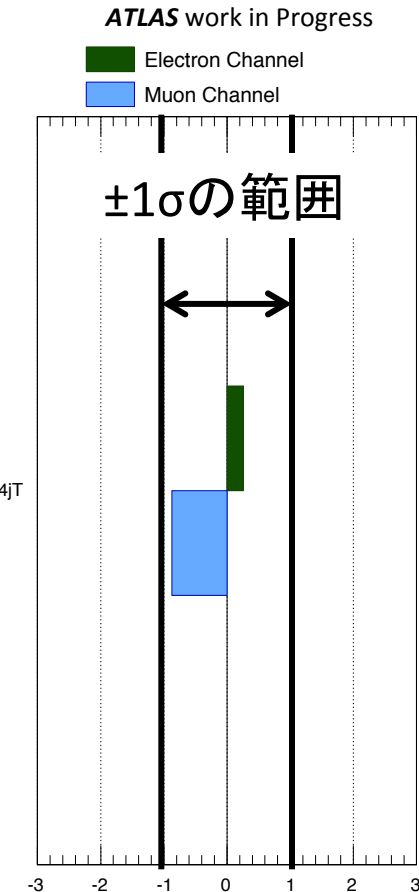


# 結果

- Control Regionで規格化したW+jets、ttbarをExtrapolateしてSRの事象数を評価する。
- この際、Generatorや検出器の不定性も取り入れたLikelihood関数を作り、計算に取り入れる。
- Signal Regionでの事象数は、予測値と無矛盾。

フィット結果 (系統・統計誤差を含めている)

項目	Electron ch.	Muon ch.
W/Z + jets	$1.5 \pm 0.7$	$4.2 \pm 2.3$
ttbar	$6.0 \pm 2.2$	$2.6 \pm 1.9$
Single top, Diboson	$1.0 \pm 0.7$	$0.9 \pm 0.3$
QCD	$0.4 \pm 0.6$	0
合計	$9.0 \pm 2.8$	$7.7 \pm 3.2$
観測した数	10	4

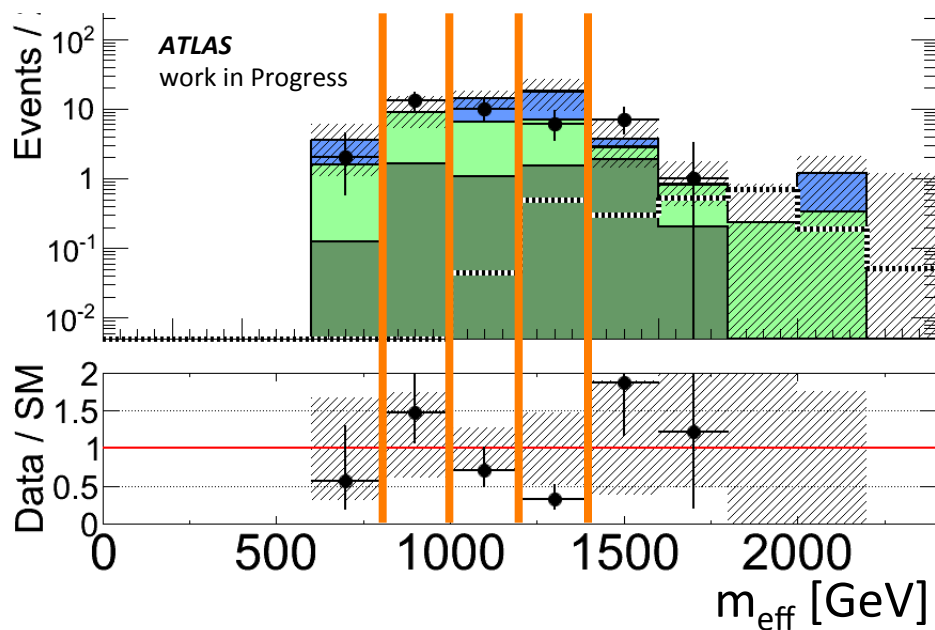


(観測数-予測数)の有意さ



## mSugra modelに対する制限の計算

- Signal Regionに有意な超過は見られなかった  
→mSugra modelに対する制限に焼きなおす。
- シグナルとバックグラウンドでは $m_{\text{eff}}$ の形状が異なることを利用して感度の向上を図る。
- $m_{\text{eff}}=800\text{GeV}$ 以上を4binに切り分けてLikelihoodを定義  
→分布形状の情報を取り入れて制限が計算される。



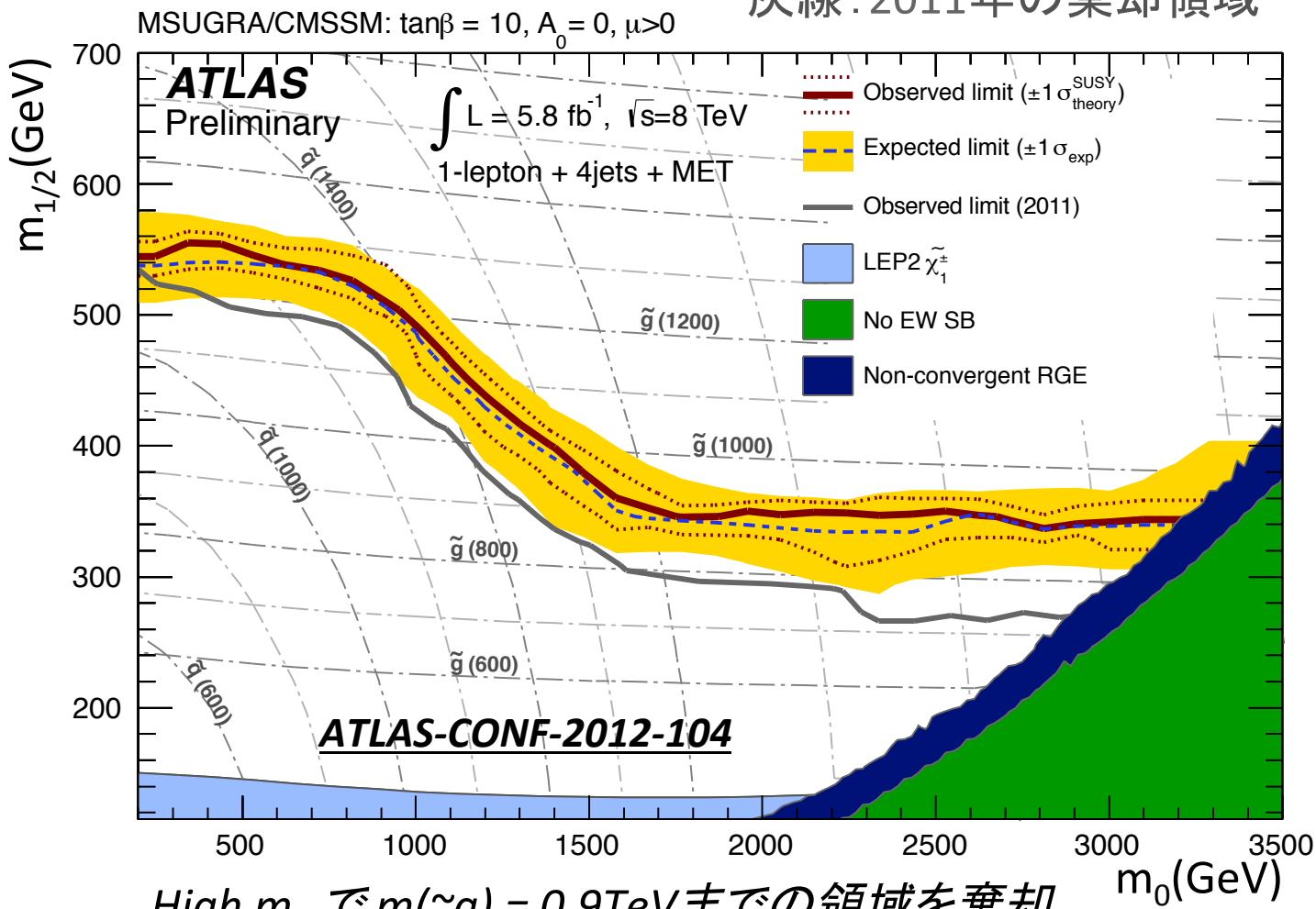
分布形状が分かるようカットを緩めたSRでの $m_{\text{eff}}$ 分布

点線: mSugraのシグナル  
( $m_0=400\text{GeV}$ ,  $m_{1/2}=500\text{GeV}$ )  
オレンジ線: binの境界線  
青:  $W+jets$   
緑:  $t\bar{t}bar$



# 棄却されたパラメータ領域

赤線: 2012年のデータでの棄却領域  
灰線: 2011年の棄却領域





## まとめ

- ATLAS検出器が2012年に取得した、重心系エネルギー8TeV、積分ルミノシティ $5.8\text{fb}^{-1}$ を用いて超対称性粒子探索を行った。
- 1lepton +  $E_T^{\text{miss}}$  + 4Jetsを要求するトポロジーをターゲットとした。
- Signal Region中の観測事象数と予測事象数は無矛盾。  
**Electron channel : Exp.=9.0±2.8, Obs.=10**  
**Muon channel : Exp.=7.7±3.2, Obs.= 4**  
→ mSugraにおける制限の計算を行った。
- シグナルとバックグラウンドの $m_{\text{eff}}$ 分布の形状の違いを利用し、感度を向上させた。
- High  $m_0$ 領域で $m(\sim g) = 0.9\text{TeV}$ ,  
 $m(\sim q)=m(\sim g)$ の条件で1.2 TeVまでの領域を棄却する結果を得た。

Reference : ATLAS-CONF-2012-104

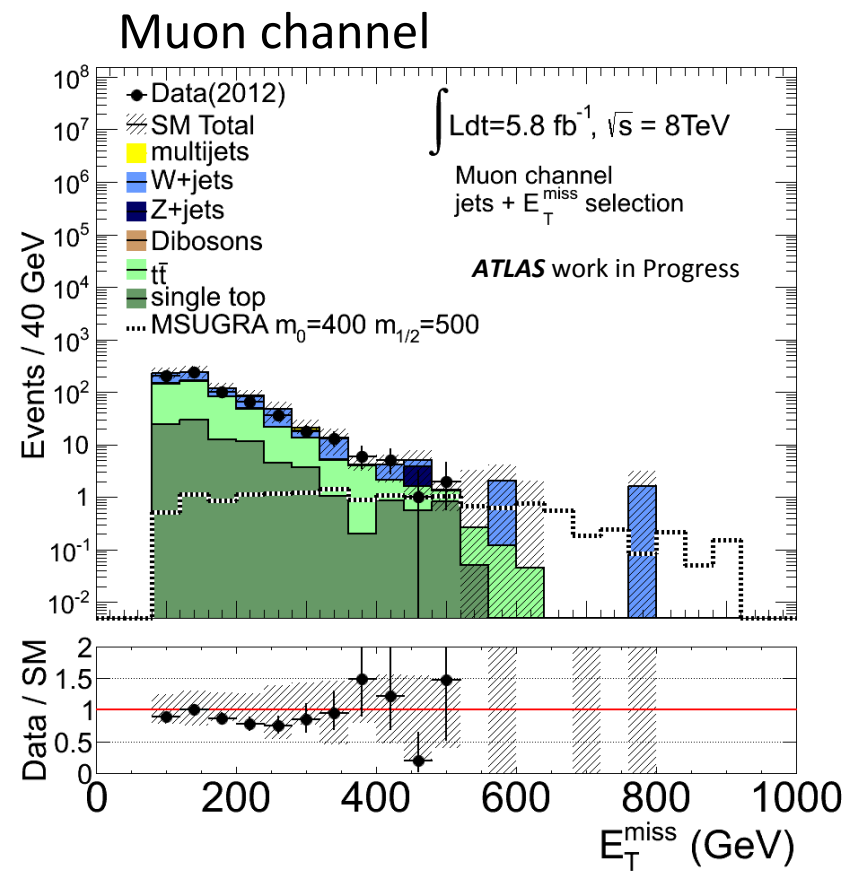
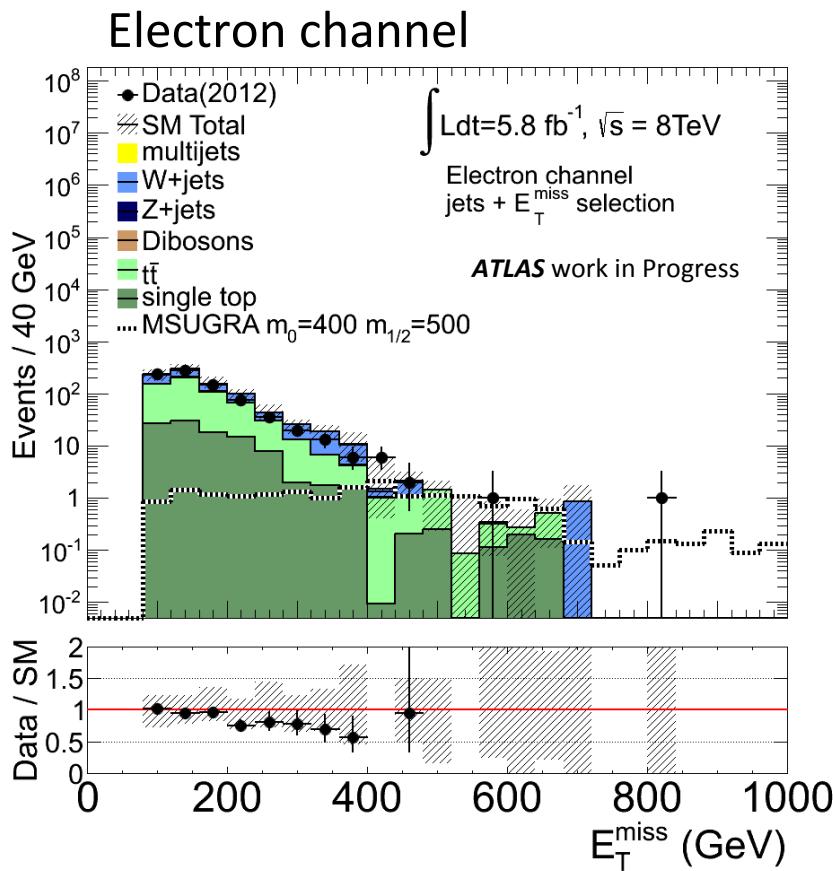
# バックアップ





# $E_T^{\text{miss}}$ 分布

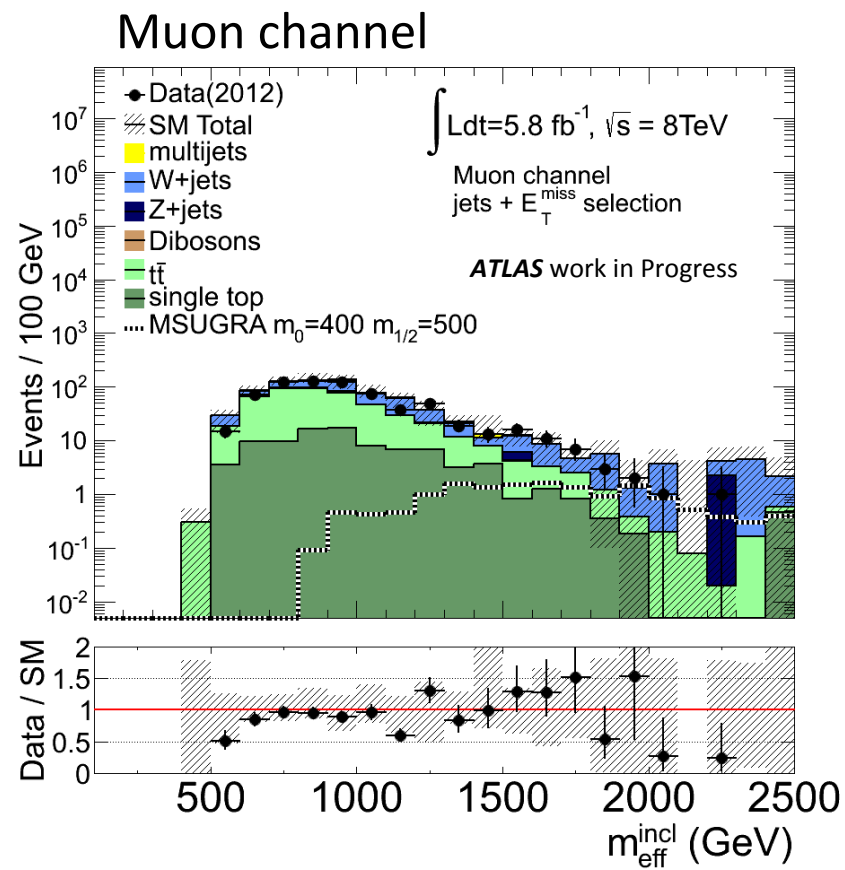
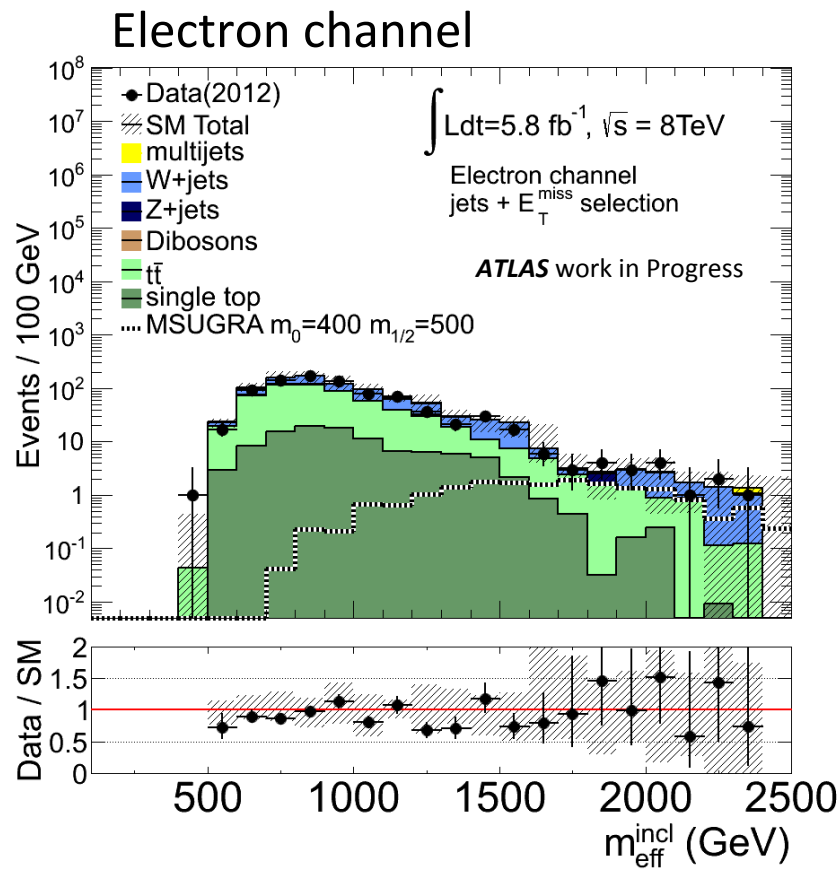
- $p_T^{\text{jet}4} > 80 \text{ GeV}$ を要求した後の $E_T^{\text{miss}}$ 分布。





# $m_{\text{eff}}$ 分布

- $p_T^{\text{jet}4} > 80 \text{ GeV}$ を要求した後の $m_{\text{eff}}$ 分布。

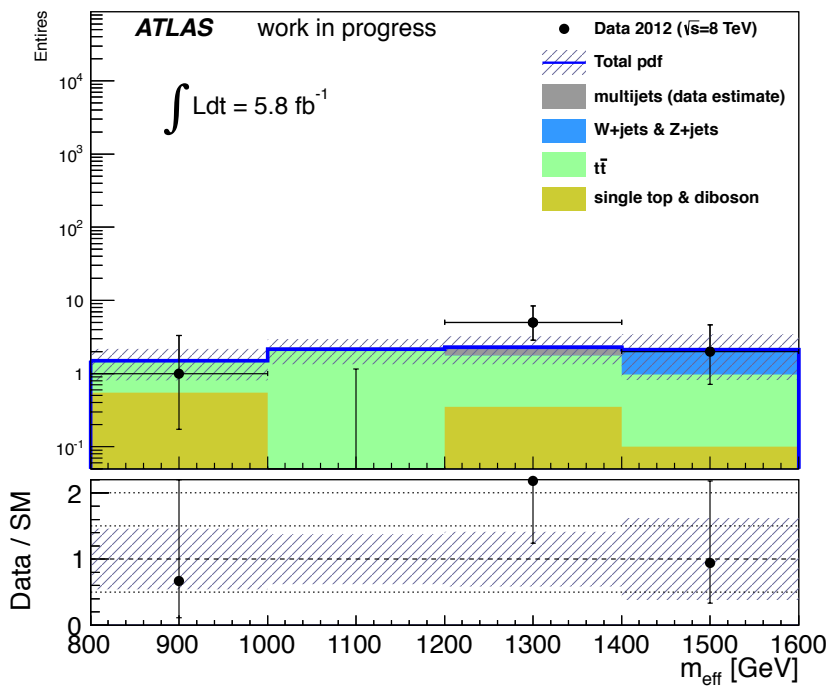




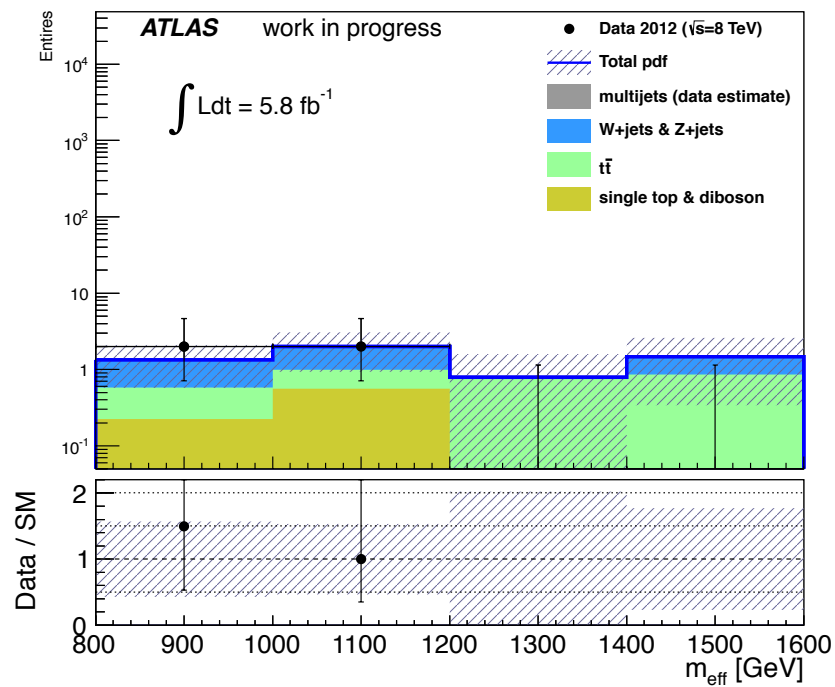
# Signal Regionにおけるフィット後の $m_{\text{eff}}$ 分布

- フィットを行った後のSignal Regionの $m_{\text{eff}}$ 分布。

Electron channel



Muon channel

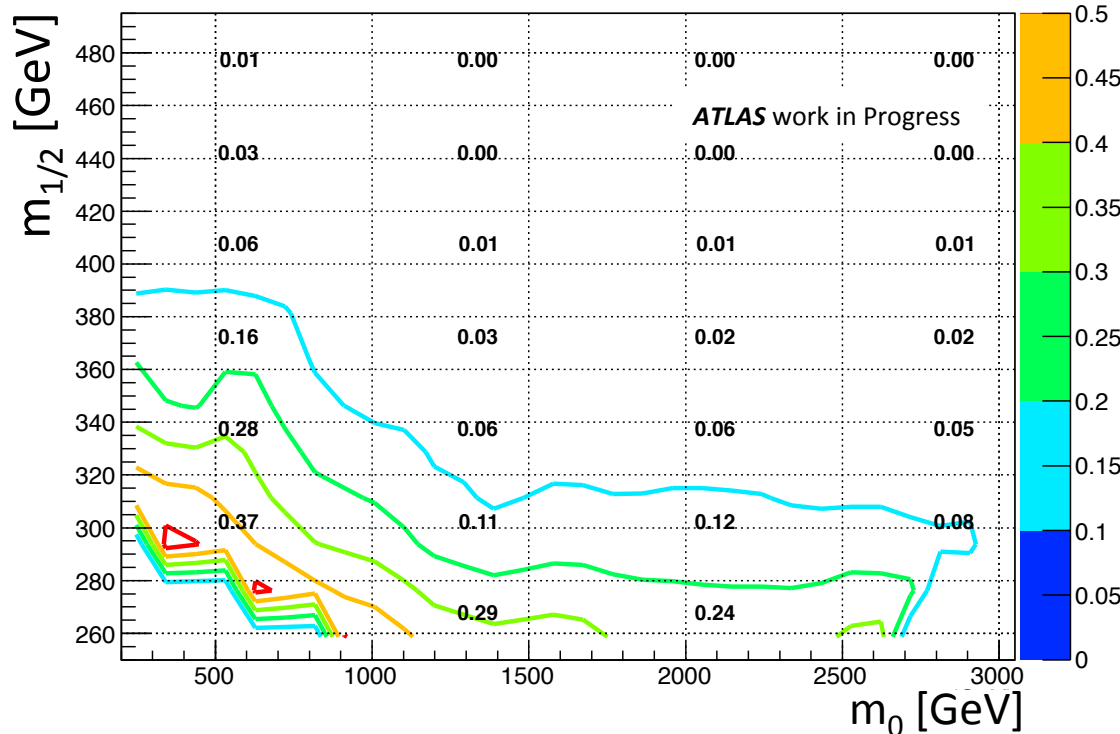




# シグナルのControl Regionへの混入

- 棄却領域計算時のフィットは、シグナルがControl Regionへ混入することも考慮して行う。とはいっても、混入が少ない方が“発見”には望ましい。
- 2012年の棄却領域付近において7%以下。

Control Regionへのシグナルの混入割合

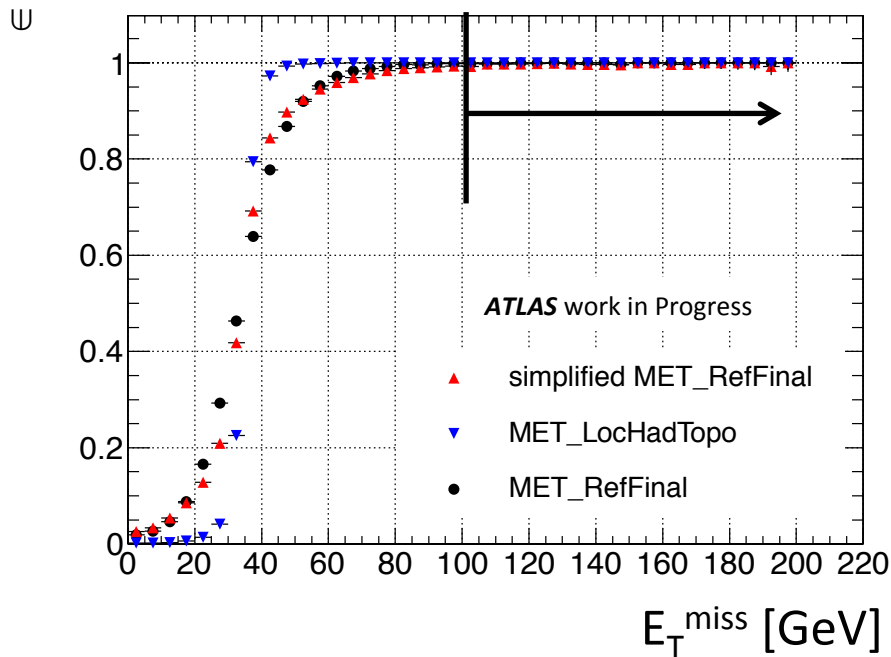




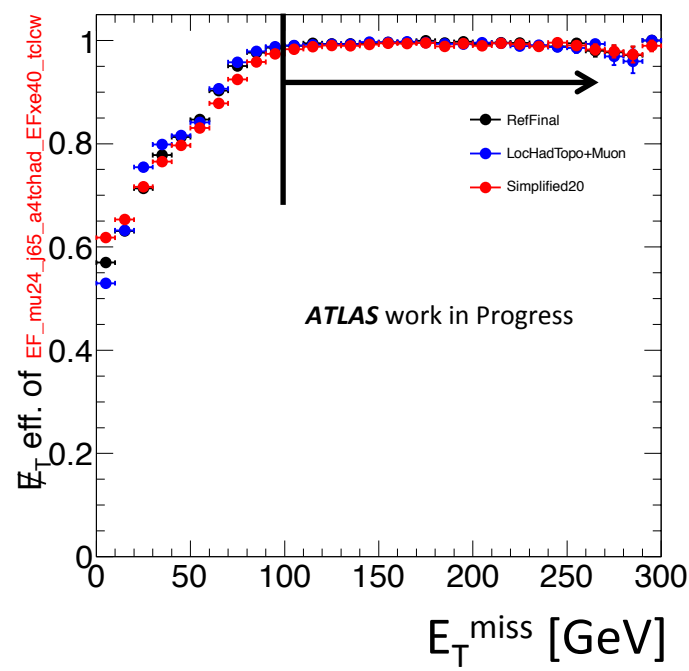
# トリガ efficiency の評価

- 2012年はLuminosityが向上  
→ Leptonのみを要求するTriggerではレートが高すぎる。  
→ Lepton +  $E_T^{\text{miss}}$  を要求するTriggerを使用。
- $E_T^{\text{miss}} > 100\text{GeV}$ を要求すればEfficiencyは100%。
- Electron, Muon共に  $p_T > 24\text{GeV}$ を要求。

Electron ch.



Muon ch.





- mSugra ( $\tan \beta = 10$ ,  $A_0 = 0\text{GeV}$ ,  $\text{sign}(\mu) = +$ ) の  $m_0$ - $m_{1/2}$  平面上で棄却領域を計算する。
- 生成断面積の不定性も計算に含める。  
→ 実際の棄却領域付近では 20-30% (主に PDF の不定性由来)

